

Eingabe: Farbmétrisches Offset-Reflektiv-System ORS18

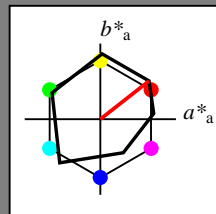
für Buntton $h^* = lab^*h = 38/360 = 0.106$

LAB*LCH, LAB*NCH

A: Buntton O

LCH*Ma: 48 82 38

olv*Ma: 1.0 0.0 0.0



ORS18; adaptierte CIELAB-Daten

| | $L^* = L^*_a$ | a^*_a | b^*_a | $C^*_{ab,a}$ | $h^*_{ab,a}$ |
|------------------|---------------|---------|---------|--------------|--------------|
| O _{Ma} | 47.94 | 64.42 | 50.58 | 81.9 | 38 |
| Y _{Ma} | 92.62 | 2.41 | 86.36 | 86.39 | 88 |
| L _{Ma} | 50.9 | -63.82 | 35.02 | 72.81 | 151 |
| C _{Ma} | 51.25 | -53.68 | -57.69 | 78.82 | 227 |
| V _{Ma} | 25.72 | 30.34 | -44.37 | 53.76 | 304 |
| M _{Ma} | 56.25 | 70.59 | 7.57 | 70.99 | 6 |
| N _{Ma} | 18.11 | 0.0 | 0.0 | 0.0 | 0 |
| W _{Ma} | 95.6 | 0.0 | 0.0 | 0.0 | 0 |
| R _{CIE} | 47.79 | 60.85 | 41.08 | 73.41 | 34 |
| J _{CIE} | 83.82 | 6.52 | 66.9 | 67.22 | 84 |
| G _{CIE} | 49.0 | -36.83 | 2.78 | 36.95 | 176 |
| B _{CIE} | 25.14 | -18.35 | -56.22 | 59.15 | 252 |

CIELAB-Helligkeit L^*

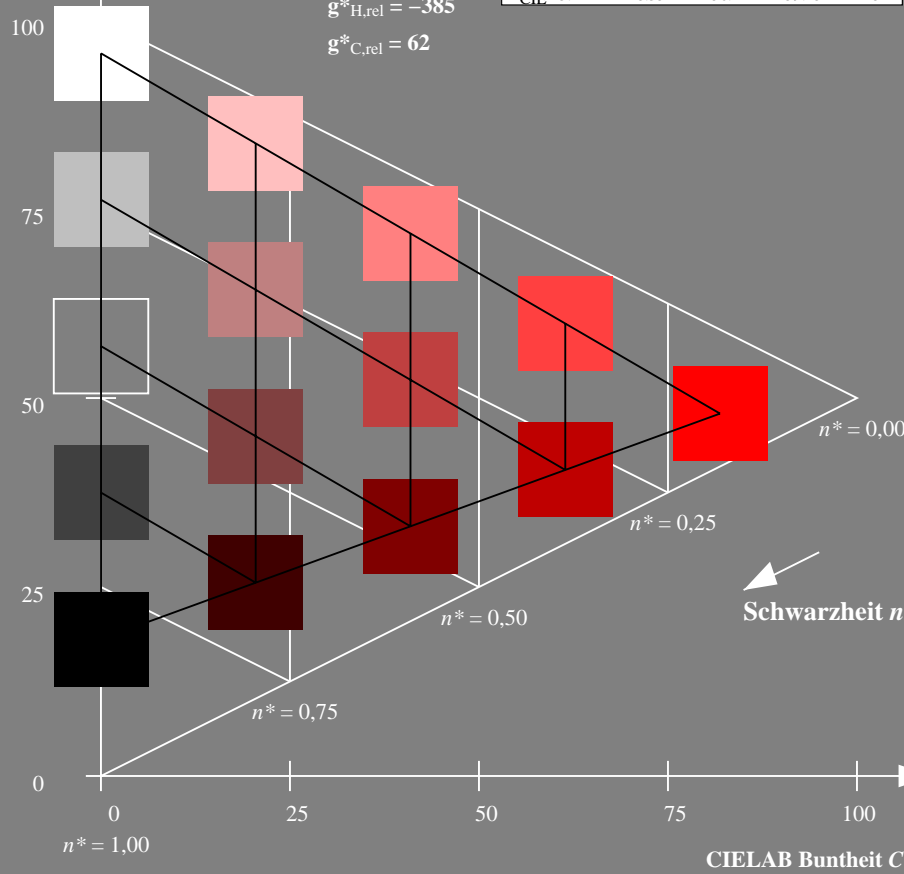
%Umfang

$u^*_{rel} = 96$

%Regularität

$g^*_{H,rel} = -385$

$g^*_{C,rel} = 62$



RG300-7, 5 stufige Reihen für konstanten CIELAB Buntton 38/360 = 0.106 (links)

Ausgabe: Farbmétrisches Fernseh-Licht-System TLS00

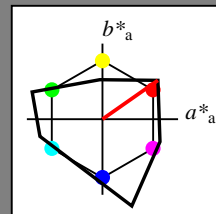
für Buntton $h^* = lab^*h = 35/360 = 0.097$

LAB*LCH, LAB*NCH

A: Buntton O

LCH*Ma: 66 90 35

olv*Ma: 1.0 0.0 0.0



TLS00; adaptierte CIELAB-Daten

| | $L^* = L^*_a$ | a^*_a | b^*_a | $C^*_{ab,a}$ | $h^*_{ab,a}$ |
|------------------|---------------|---------|---------|--------------|--------------|
| O _{Ma} | 65.56 | 73.34 | 51.39 | 89.55 | 35 |
| Y _{Ma} | 94.78 | -3.49 | 52.24 | 52.36 | 94 |
| L _{Ma} | 77.48 | -92.97 | 36.0 | 99.71 | 159 |
| C _{Ma} | 78.36 | -82.69 | -22.74 | 85.77 | 195 |
| V _{Ma} | 12.55 | 38.81 | -114.81 | 121.2 | 289 |
| M _{Ma} | 66.71 | 76.08 | -29.8 | 81.71 | 339 |
| N _{Ma} | 0.01 | 0.0 | 0.0 | 0.0 | 0 |
| W _{Ma} | 95.41 | 0.0 | 0.0 | 0.0 | 0 |
| R _{CIE} | 47.79 | 61.74 | 42.56 | 74.99 | 35 |
| J _{CIE} | 83.82 | 7.06 | 70.78 | 71.13 | 84 |
| G _{CIE} | 49.0 | -35.95 | 4.34 | 36.22 | 173 |
| B _{CIE} | 25.14 | -17.24 | -56.24 | 58.84 | 253 |

CIELAB-Helligkeit L^*

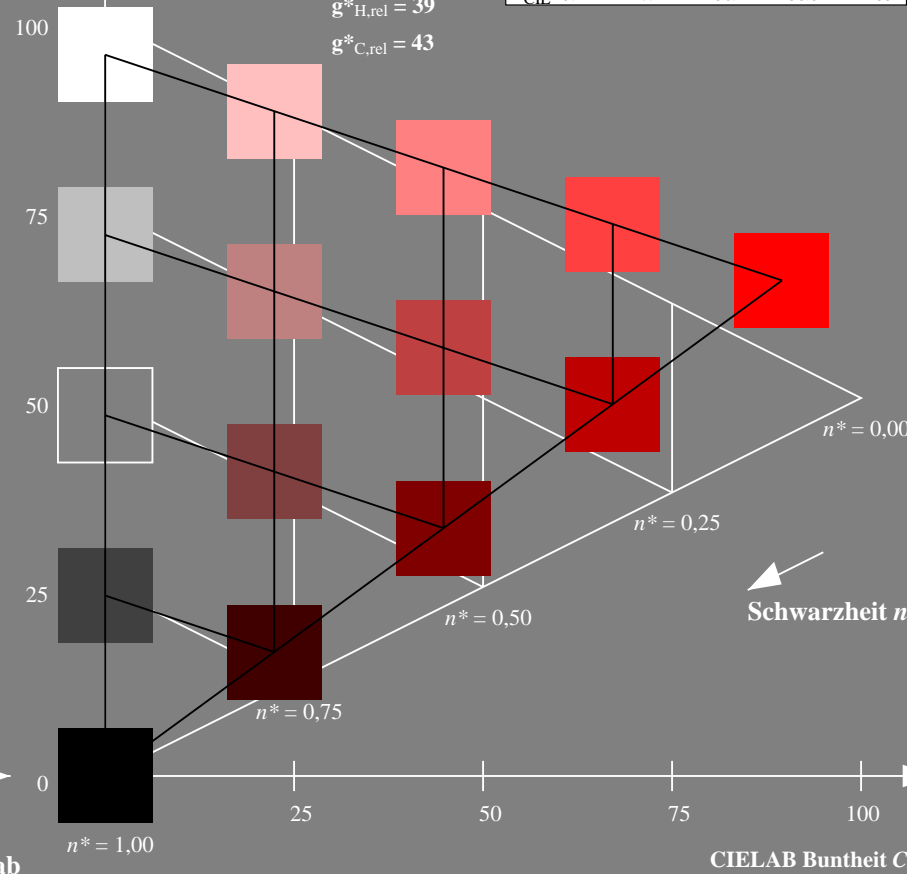
%Umfang

$u^*_{rel} = 141$

%Regularität

$g^*_{H,rel} = 39$

$g^*_{C,rel} = 43$



5 stufige Reihen für konstanten CIELAB Buntton 35/360 = 0.097 (rechts)

BAM-Prüfvorlage RG30; Farbmétrik-Systeme ORS18 & ORS18input: olv* setrgbcolor

A: Koordinatensysteme; 5stufige Farbreihen für 10 Bunttöne output: Startup (S) data dependend

Eingabe: Farbmetrisches Offset-Reflektiv-System ORS18

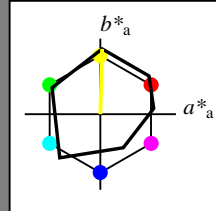
für Buntton $h^* = lab^*h = 88/360 = 0.246$

LAB*LCH, LAB*NCH

A: Buntton Y

LCH*Ma: 93 86 88

olv*Ma: 1.0 1.0 0.0



ORS18; adaptierte CIELAB-Daten

| | $L^* = L^*_a$ | a^*_a | b^*_a | $C^*_{ab,a}$ | $h^*_{ab,a}$ |
|------------------|---------------|---------|---------|--------------|--------------|
| O _{Ma} | 47.94 | 64.42 | 50.58 | 81.9 | 38 |
| Y _{Ma} | 92.62 | 2.41 | 86.36 | 86.39 | 88 |
| L _{Ma} | 50.9 | -63.82 | 35.02 | 72.81 | 151 |
| C _{Ma} | 51.25 | -53.68 | -57.69 | 78.82 | 227 |
| V _{Ma} | 25.72 | 30.34 | -44.37 | 53.76 | 304 |
| M _{Ma} | 56.25 | 70.59 | 7.57 | 70.99 | 6 |
| N _{Ma} | 18.11 | 0.0 | 0.0 | 0.0 | 0 |
| W _{Ma} | 95.6 | 0.0 | 0.0 | 0.0 | 0 |
| R _{CIE} | 47.79 | 60.85 | 41.08 | 73.41 | 34 |
| J _{CIE} | 83.82 | 6.52 | 66.9 | 67.22 | 84 |
| G _{CIE} | 49.0 | -36.83 | 2.78 | 36.95 | 176 |
| B _{CIE} | 25.14 | -18.35 | -56.22 | 59.15 | 252 |

CIELAB-Helligkeit L^*

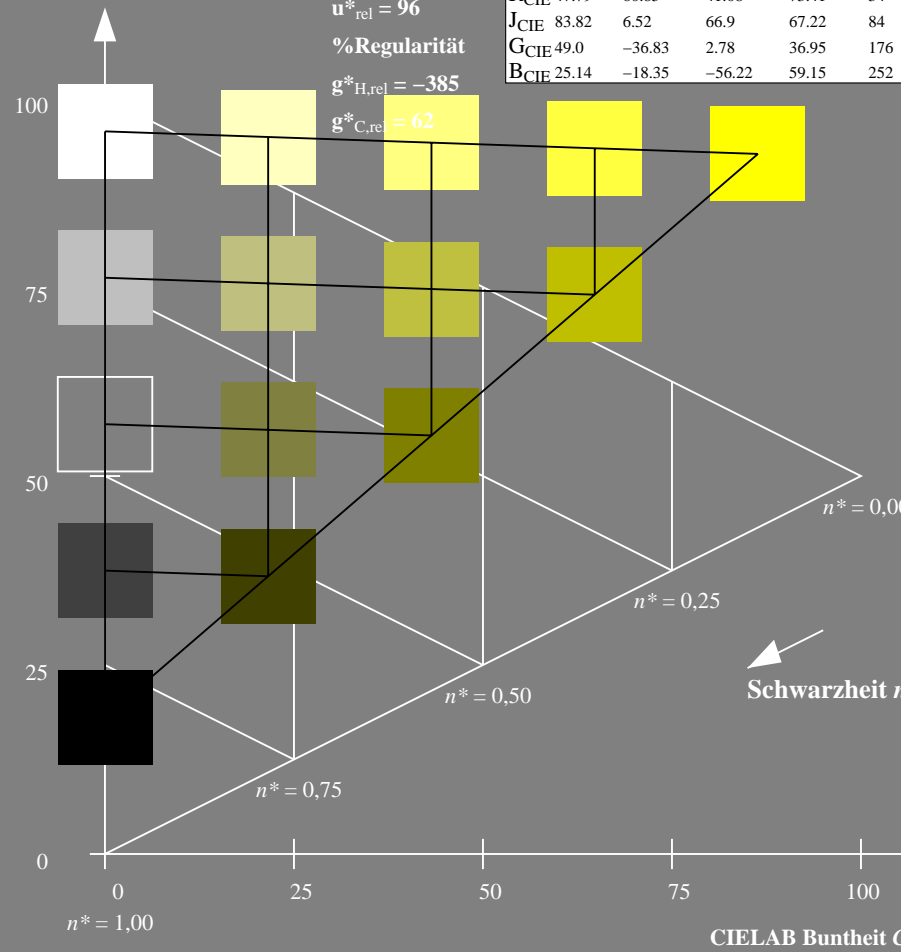
%Umfang

$u^*_{rel} = 96$

%Regularität

$g^*_{H,rel} = -385$

$g^*_{C,rel} = 62$



RG300-7, 5 stufige Reihen für konstanten CIELAB Buntton 88/360 = 0.246 (links)

Ausgabe: Farbmetrisches Fernseh-Licht-System TLS00

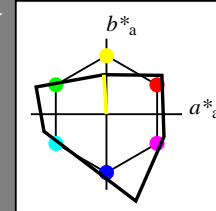
für Buntton $h^* = lab^*h = 94/360 = 0.261$

LAB*LCH, LAB*NCH

A: Buntton Y

LCH*Ma: 95 52 94

olv*Ma: 1.0 1.0 0.0



TLS00; adaptierte CIELAB-Daten

| | $L^* = L^*_a$ | a^*_a | b^*_a | $C^*_{ab,a}$ | $h^*_{ab,a}$ |
|------------------|---------------|---------|---------|--------------|--------------|
| O _{Ma} | 65.56 | 73.34 | 51.39 | 89.55 | 35 |
| Y _{Ma} | 94.78 | -3.49 | 52.24 | 52.36 | 94 |
| L _{Ma} | 77.48 | -92.97 | 36.0 | 99.71 | 159 |
| C _{Ma} | 78.36 | -82.69 | -22.74 | 85.77 | 195 |
| V _{Ma} | 12.55 | 38.81 | -114.81 | 121.2 | 289 |
| M _{Ma} | 66.71 | 76.08 | -29.8 | 81.71 | 339 |
| N _{Ma} | 0.01 | 0.0 | 0.0 | 0.0 | 0 |
| W _{Ma} | 95.41 | 0.0 | 0.0 | 0.0 | 0 |
| R _{CIE} | 47.79 | 61.74 | 42.56 | 74.99 | 35 |
| J _{CIE} | 83.82 | 7.06 | 70.78 | 71.13 | 84 |
| G _{CIE} | 49.0 | -35.95 | 4.34 | 36.22 | 173 |
| B _{CIE} | 25.14 | -17.24 | -56.24 | 58.84 | 253 |

CIELAB-Helligkeit L^*

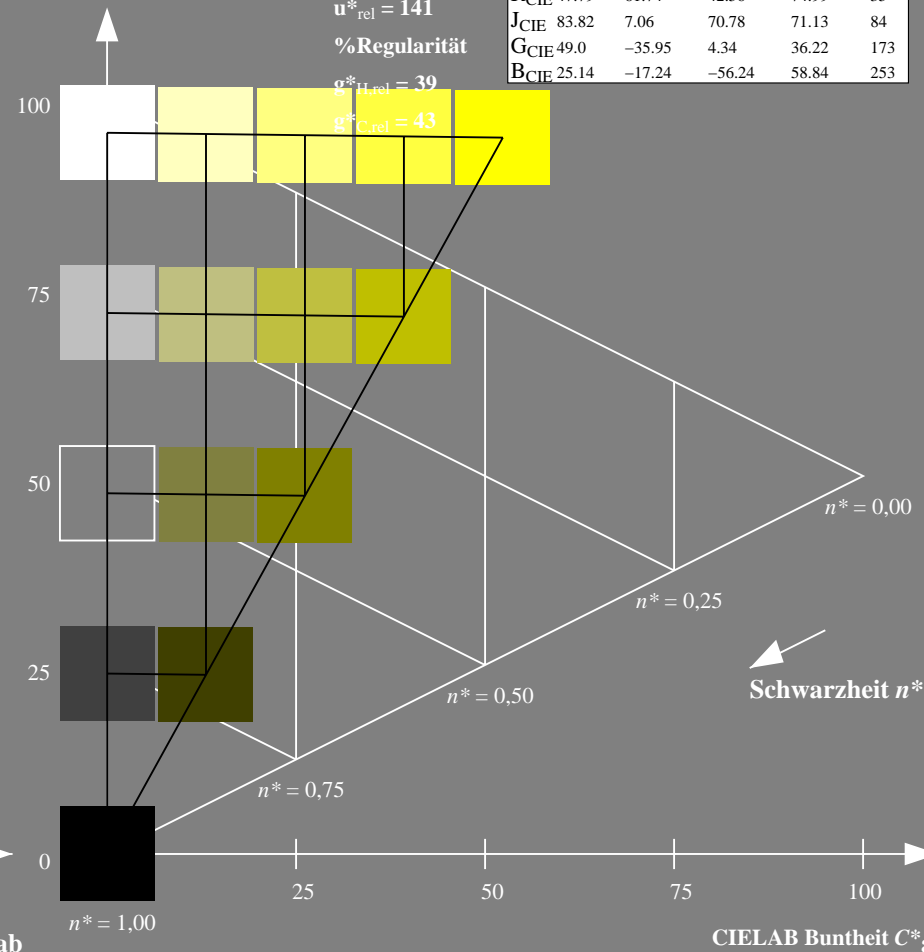
%Umfang

$u^*_{rel} = 141$

%Regularität

$g^*_{H,rel} = 39$

$g^*_{C,rel} = 43$



5 stufige Reihen für konstanten CIELAB Buntton 94/360 = 0.261 (rechts)

Eingabe: Farbmetrisches Offset-Reflektiv-System ORS18

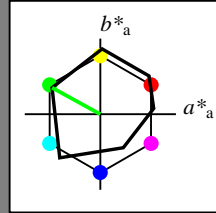
für Buntton $h^* = lab^*h = 151/360 = 0.42$

LAB*LCH, LAB*NCH

A: Buntton L

LCH*Ma: 51 73 151

olv*Ma: 0.0 1.0 0.0



ORS18; adaptierte CIELAB-Daten

| | $L^*=L^*_a$ | a^*_a | b^*_a | $C^*_{ab,a}$ | $h^*_{ab,a}$ |
|------------------|-------------|---------|---------|--------------|--------------|
| O _{Ma} | 47.94 | 64.42 | 50.58 | 81.9 | 38 |
| Y _{Ma} | 92.62 | 2.41 | 86.36 | 86.39 | 88 |
| L _{Ma} | 50.9 | -63.82 | 35.02 | 72.81 | 151 |
| C _{Ma} | 51.25 | -53.68 | -57.69 | 78.82 | 227 |
| V _{Ma} | 25.72 | 30.34 | -44.37 | 53.76 | 304 |
| M _{Ma} | 56.25 | 70.59 | 7.57 | 70.99 | 6 |
| N _{Ma} | 18.11 | 0.0 | 0.0 | 0.0 | 0 |
| W _{Ma} | 95.6 | 0.0 | 0.0 | 0.0 | 0 |
| R _{CIE} | 47.79 | 60.85 | 41.08 | 73.41 | 34 |
| J _{CIE} | 83.82 | 6.52 | 66.9 | 67.22 | 84 |
| G _{CIE} | 49.0 | -36.83 | 2.78 | 36.95 | 176 |
| B _{CIE} | 25.14 | -18.35 | -56.22 | 59.15 | 252 |

CIELAB-Helligkeit L^*

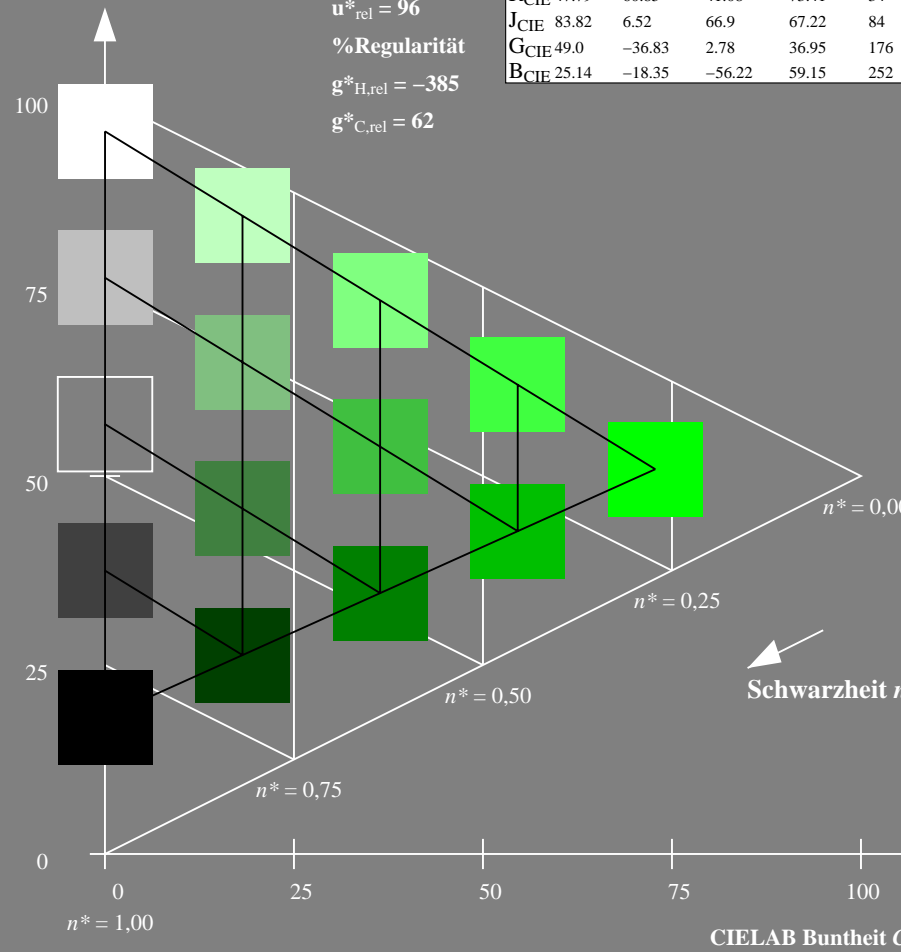
%Umfang

$u^*_{rel} = 96$

%Regularität

$g^*_{H,rel} = -385$

$g^*_{C,rel} = 62$



Ausgabe: Farbmetrisches Fernseh-Licht-System TLS00

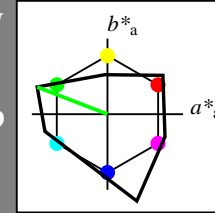
für Buntton $h^* = lab^*h = 159/360 = 0.441$

LAB*LCH, LAB*NCH

A: Buntton L

LCH*Ma: 77 100 159

olv*Ma: 0.0 1.0 0.0



TLS00; adaptierte CIELAB-Daten

| | $L^*=L^*_a$ | a^*_a | b^*_a | $C^*_{ab,a}$ | $h^*_{ab,a}$ |
|------------------|-------------|---------|---------|--------------|--------------|
| O _{Ma} | 65.56 | 73.34 | 51.39 | 89.55 | 35 |
| Y _{Ma} | 94.78 | -3.49 | 52.24 | 52.36 | 94 |
| L _{Ma} | 77.48 | -92.97 | 36.0 | 99.71 | 159 |
| C _{Ma} | 78.36 | -82.69 | -22.74 | 85.77 | 195 |
| V _{Ma} | 12.55 | 38.81 | -114.81 | 121.2 | 289 |
| M _{Ma} | 66.71 | 76.08 | -29.8 | 81.71 | 339 |
| N _{Ma} | 0.01 | 0.0 | 0.0 | 0.0 | 0 |
| W _{Ma} | 95.41 | 0.0 | 0.0 | 0.0 | 0 |
| R _{CIE} | 47.79 | 61.74 | 42.56 | 74.99 | 35 |
| J _{CIE} | 83.82 | 7.06 | 70.78 | 71.13 | 84 |
| G _{CIE} | 49.0 | -35.95 | 4.34 | 36.22 | 173 |
| B _{CIE} | 25.14 | -17.24 | -56.24 | 58.84 | 253 |

CIELAB-Helligkeit L^*

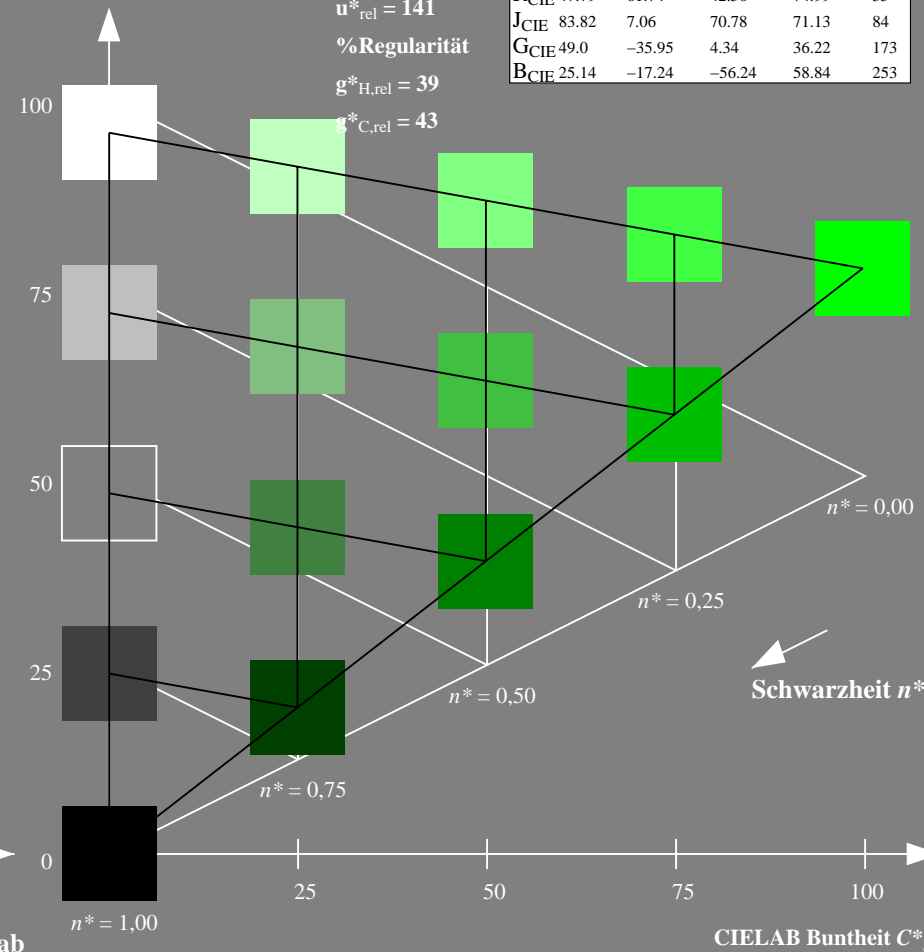
%Umfang

$u^*_{rel} = 141$

%Regularität

$g^*_{H,rel} = 39$

$g^*_{C,rel} = 43$



RG300-7, 5 stufige Reihen für konstanten CIELAB Buntton 151/360 = 0.42 (links)

5 stufige Reihen für konstanten CIELAB Buntton 159/360 = 0.441 (rechts)

BAM-Prüfvorlage RG30; Farbmetrik-Systeme ORS18 & ORS18input: olv* setrgbcolor

A: Koordinatensysteme; 5stufige Farbreihen für 10 Bunttöne output: Startup (S) data dependend

Eingabe: Farbmetrisches Offset-Reflektiv-System ORS18

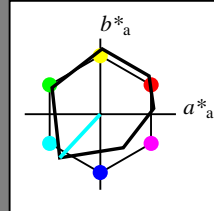
für Buntton $h^* = lab^*h = 227/360 = 0.631$

LAB*LCH, LAB*NCH

A: Buntton C

LCH*Ma: 51 79 227

olv*Ma: 0.0 1.0 1.0



ORS18; adaptierte CIELAB-Daten

| | $L^* = L^*_a$ | a^*_a | b^*_a | $C^*_{ab,a}$ | $h^*_{ab,a}$ |
|------------------|---------------|---------|---------|--------------|--------------|
| O _{Ma} | 47.94 | 64.42 | 50.58 | 81.9 | 38 |
| Y _{Ma} | 92.62 | 2.41 | 86.36 | 86.39 | 88 |
| L _{Ma} | 50.9 | -63.82 | 35.02 | 72.81 | 151 |
| C _{Ma} | 51.25 | -53.68 | -57.69 | 78.82 | 227 |
| V _{Ma} | 25.72 | 30.34 | -44.37 | 53.76 | 304 |
| M _{Ma} | 56.25 | 70.59 | 7.57 | 70.99 | 6 |
| N _{Ma} | 18.11 | 0.0 | 0.0 | 0.0 | 0 |
| W _{Ma} | 95.6 | 0.0 | 0.0 | 0.0 | 0 |
| R _{CIE} | 47.79 | 60.85 | 41.08 | 73.41 | 34 |
| J _{CIE} | 83.82 | 6.52 | 66.9 | 67.22 | 84 |
| G _{CIE} | 49.0 | -36.83 | 2.78 | 36.95 | 176 |
| B _{CIE} | 25.14 | -18.35 | -56.22 | 59.15 | 252 |

CIELAB-Helligkeit L^*

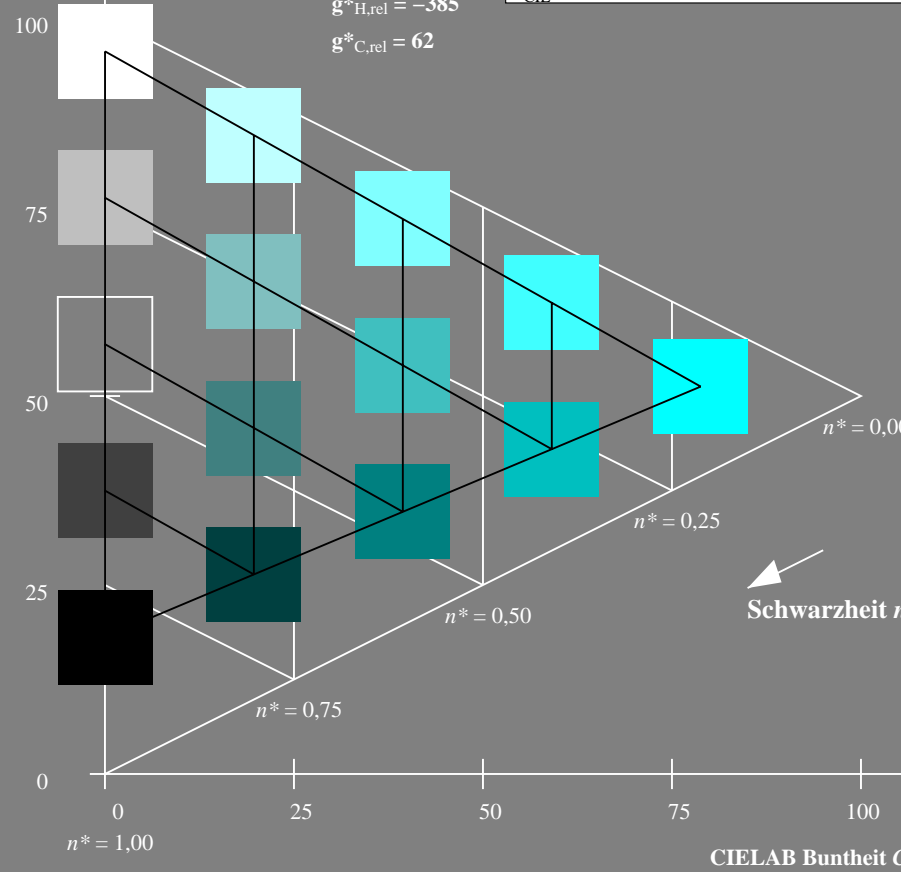
%Umfang

$u^*_{rel} = 96$

%Regularität

$g^*_{H,rel} = -385$

$g^*_{C,rel} = 62$



RG300-7, 5 stufige Reihen für konstanten CIELAB Buntton 227/360 = 0.631 (links)

Ausgabe: Farbmetrisches Fernseh-Licht-System TLS00

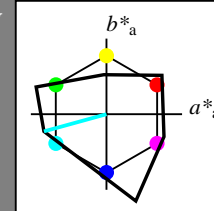
für Buntton $h^* = lab^*h = 195/360 = 0.543$

LAB*LCH, LAB*NCH

A: Buntton C

LCH*Ma: 78 86 195

olv*Ma: 0.0 1.0 1.0



TLS00; adaptierte CIELAB-Daten

| | $L^* = L^*_a$ | a^*_a | b^*_a | $C^*_{ab,a}$ | $h^*_{ab,a}$ |
|------------------|---------------|---------|---------|--------------|--------------|
| O _{Ma} | 65.56 | 73.34 | 51.39 | 89.55 | 35 |
| Y _{Ma} | 94.78 | -3.49 | 52.24 | 52.36 | 94 |
| L _{Ma} | 77.48 | -92.97 | 36.0 | 99.71 | 159 |
| C _{Ma} | 78.36 | -82.69 | -22.74 | 85.77 | 195 |
| V _{Ma} | 12.55 | 38.81 | -114.81 | 121.2 | 289 |
| M _{Ma} | 66.71 | 76.08 | -29.8 | 81.71 | 339 |
| N _{Ma} | 0.01 | 0.0 | 0.0 | 0.0 | 0 |
| W _{Ma} | 95.41 | 0.0 | 0.0 | 0.0 | 0 |
| R _{CIE} | 47.79 | 61.74 | 42.56 | 74.99 | 35 |
| J _{CIE} | 83.82 | 7.06 | 70.78 | 71.13 | 84 |
| G _{CIE} | 49.0 | -35.95 | 4.34 | 36.22 | 173 |
| B _{CIE} | 25.14 | -17.24 | -56.24 | 58.84 | 253 |

CIELAB-Helligkeit L^*

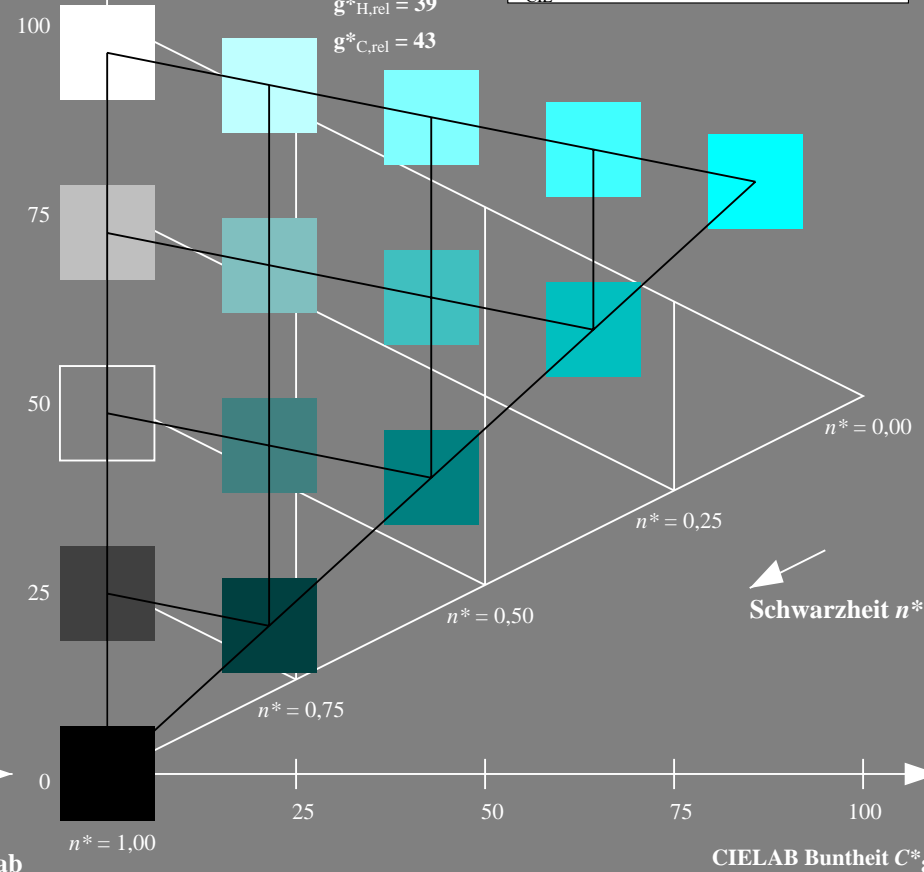
%Umfang

$u^*_{rel} = 141$

%Regularität

$g^*_{H,rel} = 39$

$g^*_{C,rel} = 43$



5 stufige Reihen für konstanten CIELAB Buntton 195/360 = 0.543 (rechts)

BAM-Prüfvorlage RG30; Farbmetrik-Systeme ORS18 & ORS18input: olv* setrgbcolor

A: Koordinatensysteme; 5stufige Farbreihen für 10 Bunttöne output: Startup (S) data dependend

Eingabe: Farbmétrisches Offset-Reflektiv-System ORS18

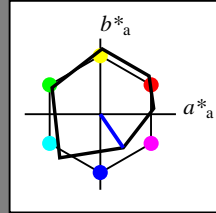
für Buntton $h^* = lab^*h = 304/360 = 0.845$

LAB*LCH, LAB*NCH

A: Buntton V

LCH*Ma: 26 54 304

olv*Ma: 0.0 0.0 1.0



ORS18; adaptierte CIELAB-Daten

| | $L^* = L^*_a$ | a^*_a | b^*_a | $C^*_{ab,a}$ | $h^*_{ab,a}$ |
|------------------|---------------|---------|---------|--------------|--------------|
| O _{Ma} | 47.94 | 64.42 | 50.58 | 81.9 | 38 |
| Y _{Ma} | 92.62 | 2.41 | 86.36 | 86.39 | 88 |
| L _{Ma} | 50.9 | -63.82 | 35.02 | 72.81 | 151 |
| C _{Ma} | 51.25 | -53.68 | -57.69 | 78.82 | 227 |
| V _{Ma} | 25.72 | 30.34 | -44.37 | 53.76 | 304 |
| M _{Ma} | 56.25 | 70.59 | 7.57 | 70.99 | 6 |
| N _{Ma} | 18.11 | 0.0 | 0.0 | 0.0 | 0 |
| W _{Ma} | 95.6 | 0.0 | 0.0 | 0.0 | 0 |
| R _{CIE} | 47.79 | 60.85 | 41.08 | 73.41 | 34 |
| J _{CIE} | 83.82 | 6.52 | 66.9 | 67.22 | 84 |
| G _{CIE} | 49.0 | -36.83 | 2.78 | 36.95 | 176 |
| B _{CIE} | 25.14 | -18.35 | -56.22 | 59.15 | 252 |

CIELAB-Helligkeit L^*

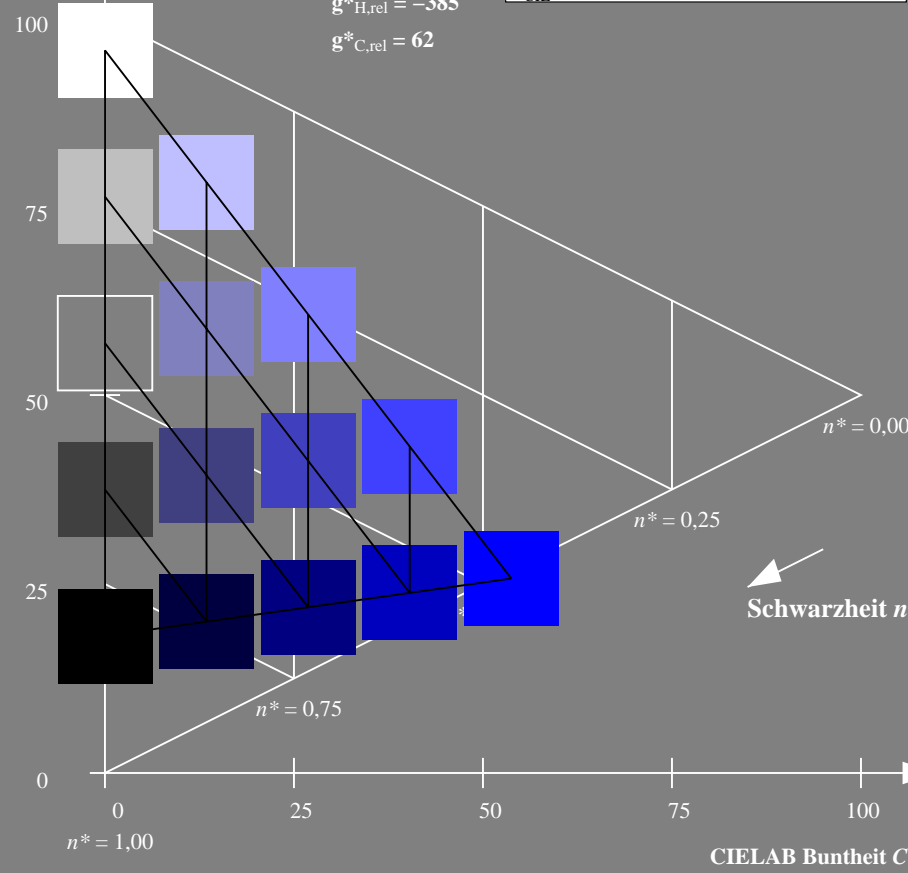
%Umfang

$u^*_{rel} = 96$

%Regularität

$g^*_{H,rel} = -385$

$g^*_{C,rel} = 62$



RG300-7, 5 stufige Reihen für konstanten CIELAB Buntton 304/360 = 0.845 (links)

Ausgabe: Farbmétrisches Fernseh-Licht-System TLS00

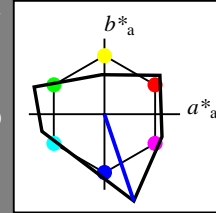
für Buntton $h^* = lab^*h = 289/360 = 0.802$

LAB*LCH, LAB*NCH

A: Buntton V

LCH*Ma: 13 121 289

olv*Ma: 0.0 0.0 1.0



TLS00; adaptierte CIELAB-Daten

| | $L^* = L^*_a$ | a^*_a | b^*_a | $C^*_{ab,a}$ | $h^*_{ab,a}$ |
|------------------|---------------|---------|---------|--------------|--------------|
| O _{Ma} | 65.56 | 73.34 | 51.39 | 89.55 | 35 |
| Y _{Ma} | 94.78 | -3.49 | 52.24 | 52.36 | 94 |
| L _{Ma} | 77.48 | -92.97 | 36.0 | 99.71 | 159 |
| C _{Ma} | 78.36 | -82.69 | -22.74 | 85.77 | 195 |
| V _{Ma} | 12.55 | 38.81 | -114.81 | 121.2 | 289 |
| M _{Ma} | 66.71 | 76.08 | -29.8 | 81.71 | 339 |
| N _{Ma} | 0.01 | 0.0 | 0.0 | 0.0 | 0 |
| W _{Ma} | 95.41 | 0.0 | 0.0 | 0.0 | 0 |
| R _{CIE} | 47.79 | 61.74 | 42.56 | 74.99 | 35 |
| J _{CIE} | 83.82 | 7.06 | 70.78 | 71.13 | 84 |
| G _{CIE} | 49.0 | -35.95 | 4.34 | 36.22 | 173 |
| B _{CIE} | 25.14 | -17.24 | -56.24 | 58.84 | 253 |

CIELAB-Helligkeit L^*

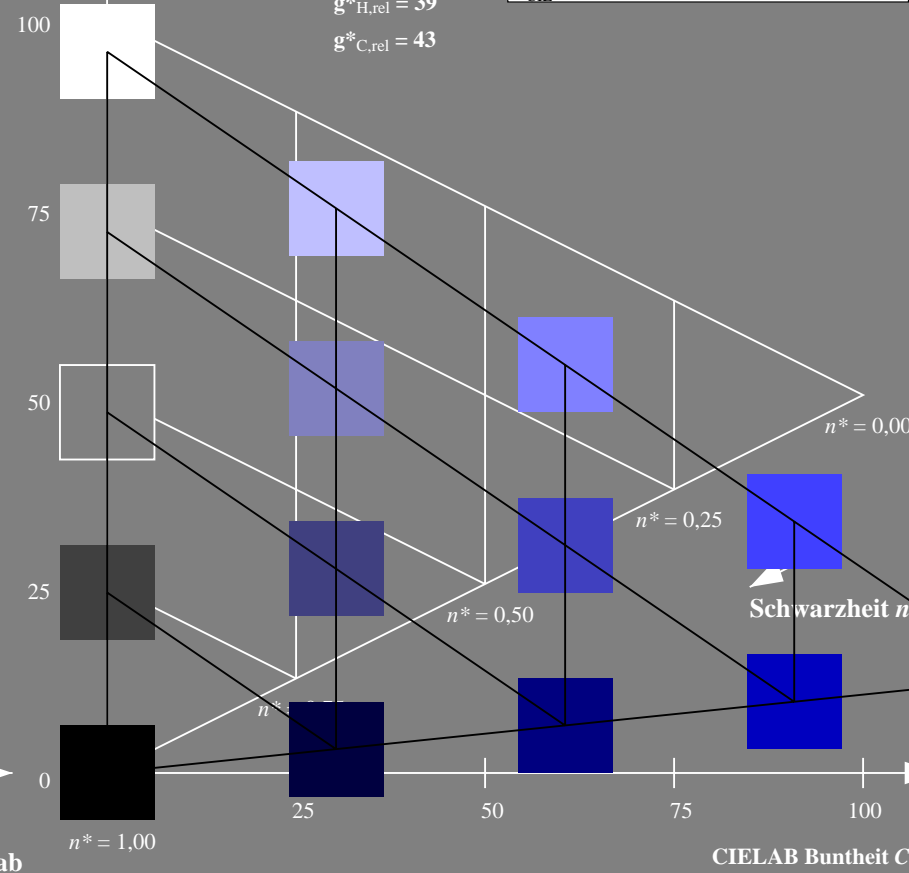
%Umfang

$u^*_{rel} = 141$

%Regularität

$g^*_{H,rel} = 39$

$g^*_{C,rel} = 43$



5 stufige Reihen für konstanten CIELAB Buntton 289/360 = 0.802 (rechts)

BAM-Prüfvorlage RG30; Farbmétrik-Systeme ORS18 & ORS18input: olv* setrgbcolor

A: Koordinatensysteme; 5stufige Farbreihen für 10 Bunttöne output: Startup (S) data dependend

Eingabe: Farbmétrisches Offset-Reflektiv-System ORS18

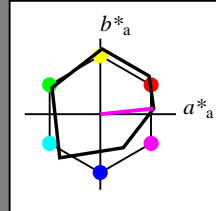
für Buntton $h^* = lab^*h = 6/360 = 0.017$

LAB*LCH, LAB*NCH

A: Buntton M

LCH*Ma: 56 71 6

olv*Ma: 1.0 0.0 1.0



ORS18; adaptierte CIELAB-Daten

| | $L^*=L^*_a$ | a^*_a | b^*_a | $C^*_{ab,a}$ | $h^*_{ab,a}$ |
|------------------|-------------|---------|---------|--------------|--------------|
| O _{Ma} | 47.94 | 64.42 | 50.58 | 81.9 | 38 |
| Y _{Ma} | 92.62 | 2.41 | 86.36 | 86.39 | 88 |
| L _{Ma} | 50.9 | -63.82 | 35.02 | 72.81 | 151 |
| C _{Ma} | 51.25 | -53.68 | -57.69 | 78.82 | 227 |
| V _{Ma} | 25.72 | 30.34 | -44.37 | 53.76 | 304 |
| M _{Ma} | 56.25 | 70.59 | 7.57 | 70.99 | 6 |
| N _{Ma} | 18.11 | 0.0 | 0.0 | 0.0 | 0 |
| W _{Ma} | 95.6 | 0.0 | 0.0 | 0.0 | 0 |
| R _{CIE} | 47.79 | 60.85 | 41.08 | 73.41 | 34 |
| J _{CIE} | 83.82 | 6.52 | 66.9 | 67.22 | 84 |
| G _{CIE} | 49.0 | -36.83 | 2.78 | 36.95 | 176 |
| B _{CIE} | 25.14 | -18.35 | -56.22 | 59.15 | 252 |

CIELAB-Helligkeit L^*

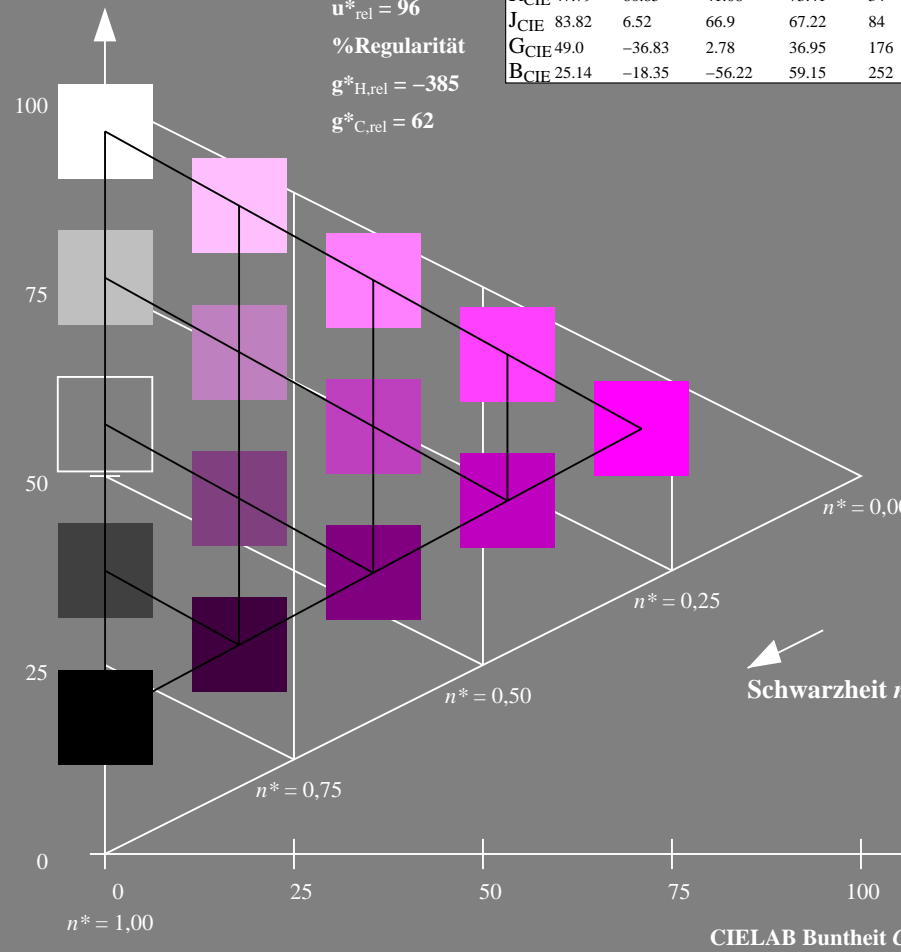
%Umfang

$u^*_{rel} = 96$

%Regularität

$g^*_{H,rel} = -385$

$g^*_{C,rel} = 62$



RG300-7, 5 stufige Reihen für konstanten CIELAB Buntton $6/360 = 0.017$ (links)

Ausgabe: Farbmétrisches Fernseh-Licht-System TLS00

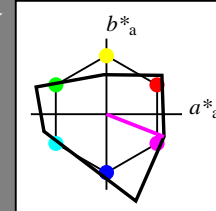
für Buntton $h^* = lab^*h = 339/360 = 0.941$

LAB*LCH, LAB*NCH

A: Buntton M

LCH*Ma: 67 82 339

olv*Ma: 1.0 0.0 1.0



TLS00; adaptierte CIELAB-Daten

| | $L^*=L^*_a$ | a^*_a | b^*_a | $C^*_{ab,a}$ | $h^*_{ab,a}$ |
|------------------|-------------|---------|---------|--------------|--------------|
| O _{Ma} | 65.56 | 73.34 | 51.39 | 89.55 | 35 |
| Y _{Ma} | 94.78 | -3.49 | 52.24 | 52.36 | 94 |
| L _{Ma} | 77.48 | -92.97 | 36.0 | 99.71 | 159 |
| C _{Ma} | 78.36 | -82.69 | -22.74 | 85.77 | 195 |
| V _{Ma} | 12.55 | 38.81 | -114.81 | 121.2 | 289 |
| M _{Ma} | 66.71 | 76.08 | -29.8 | 81.71 | 339 |
| N _{Ma} | 0.01 | 0.0 | 0.0 | 0.0 | 0 |
| W _{Ma} | 95.41 | 0.0 | 0.0 | 0.0 | 0 |
| R _{CIE} | 47.79 | 61.74 | 42.56 | 74.99 | 35 |
| J _{CIE} | 83.82 | 7.06 | 70.78 | 71.13 | 84 |
| G _{CIE} | 49.0 | -35.95 | 4.34 | 36.22 | 173 |
| B _{CIE} | 25.14 | -17.24 | -56.24 | 58.84 | 253 |

CIELAB-Helligkeit L^*

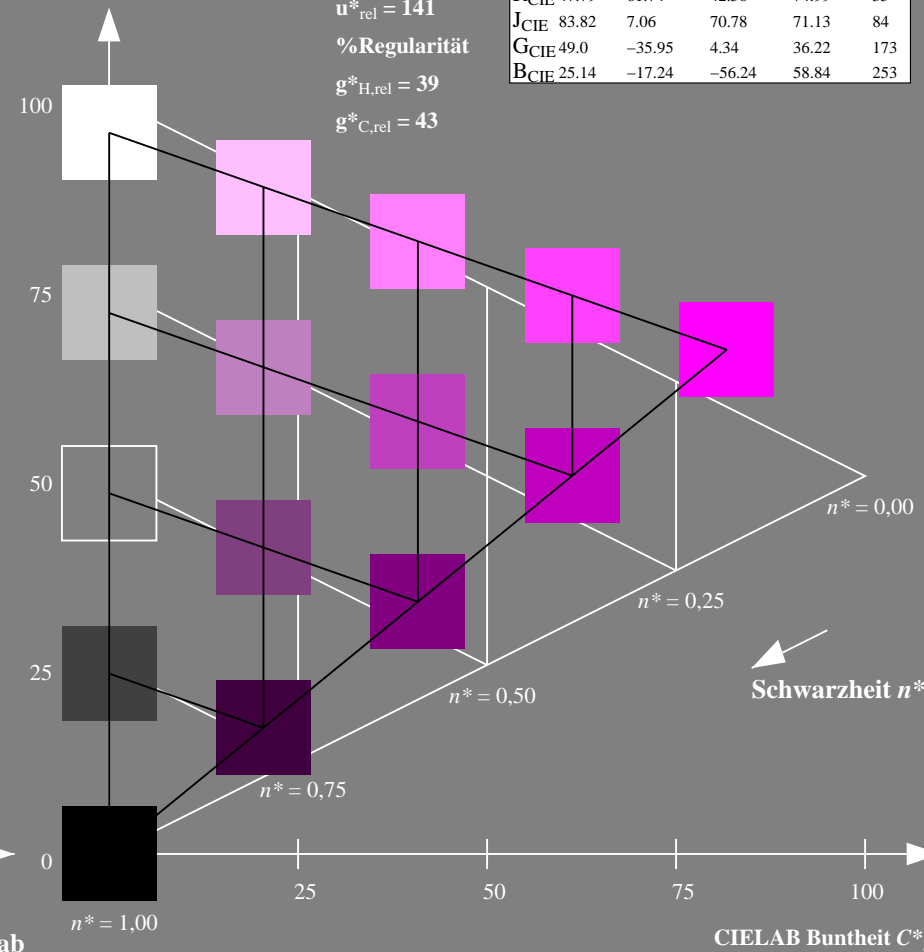
%Umfang

$u^*_{rel} = 141$

%Regularität

$g^*_{H,rel} = 39$

$g^*_{C,rel} = 43$



5 stufige Reihen für konstanten CIELAB Buntton $339/360 = 0.941$ (rechts)

BAM-Prüfvorlage RG30; Farbmétrik-Systeme ORS18 & ORS18input: olv* setrgbcolor

A: Koordinatensysteme; 5stufige Farbreihen für 10 Bunttöne output: Startup (S) data dependend

Siehe ähnliche Dateien: <http://www.ps.bam.de/RG30/>
Technische Information: <http://www.ps.bam.de> Version 2.1, io=1,1?

BAM-Registrierung: 20060101-RG30/10Q/Q30G05SP.PS/.PDF BAM-Material: Code=rh4ta
Anwendung für Beurteilung und Messung von Drucker- oder Monitorssystemen
/RG30/ Form: 6/10, Serie: 1/1, Seite: 6
Satzzeichnung 6

Eingabe: Farbmetrisches Offset-Reflektiv-System ORS18

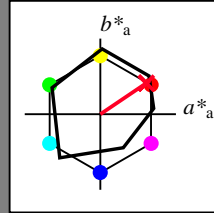
für Buntton $h^* = lab^*h = 34/360 = 0.095$

LAB*LCH, LAB*NCH

A: Buntton R

LCH*Ma: 49 79 34

olv*Ma: 1.0 0.0 0.15



ORS18; adaptierte CIELAB-Daten

| | $L^*=L^*_a$ | a^*_a | b^*_a | $C^*_{ab,a}$ | $h^*_{ab,a}$ |
|------------------|-------------|---------|---------|--------------|--------------|
| O _{Ma} | 47.94 | 64.42 | 50.58 | 81.9 | 38 |
| Y _{Ma} | 92.62 | 2.41 | 86.36 | 86.39 | 88 |
| L _{Ma} | 50.9 | -63.82 | 35.02 | 72.81 | 151 |
| C _{Ma} | 51.25 | -53.68 | -57.69 | 78.82 | 227 |
| V _{Ma} | 25.72 | 30.34 | -44.37 | 53.76 | 304 |
| M _{Ma} | 56.25 | 70.59 | 7.57 | 70.99 | 6 |
| N _{Ma} | 18.11 | 0.0 | 0.0 | 0.0 | 0 |
| W _{Ma} | 95.6 | 0.0 | 0.0 | 0.0 | 0 |
| R _{CIE} | 47.79 | 60.85 | 41.08 | 73.41 | 34 |
| J _{CIE} | 83.82 | 6.52 | 66.9 | 67.22 | 84 |
| G _{CIE} | 49.0 | -36.83 | 2.78 | 36.95 | 176 |
| B _{CIE} | 25.14 | -18.35 | -56.22 | 59.15 | 252 |

CIELAB-Helligkeit L^*

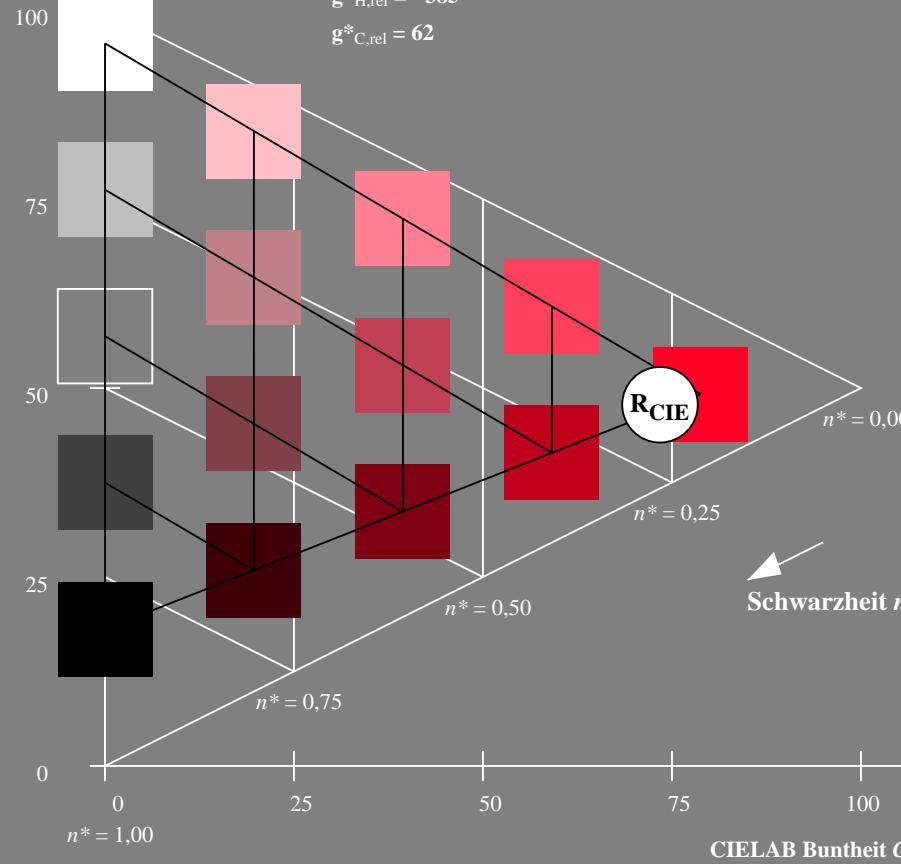
%Umfang

$u^*_{rel} = 96$

%Regularität

$g^*_{H,rel} = -385$

$g^*_{C,rel} = 62$



Ausgabe: Farbmetrisches Fernseh-Licht-System TLS00

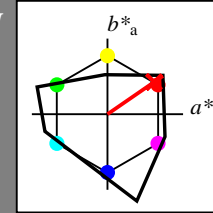
für Buntton $h^* = lab^*h = 35/360 = 0.096$

LAB*LCH, LAB*NCH

A: Buntton R

LCH*Ma: 66 89 35

olv*Ma: 1.0 0.0 0.01



TLS00; adaptierte CIELAB-Daten

| | $L^*=L^*_a$ | a^*_a | b^*_a | $C^*_{ab,a}$ | $h^*_{ab,a}$ |
|------------------|-------------|---------|---------|--------------|--------------|
| O _{Ma} | 65.56 | 73.34 | 51.39 | 89.55 | 35 |
| Y _{Ma} | 94.78 | -3.49 | 52.24 | 52.36 | 94 |
| L _{Ma} | 77.48 | -92.97 | 36.0 | 99.71 | 159 |
| C _{Ma} | 78.36 | -82.69 | -22.74 | 85.77 | 195 |
| V _{Ma} | 12.55 | 38.81 | -114.81 | 121.2 | 289 |
| M _{Ma} | 66.71 | 76.08 | -29.8 | 81.71 | 339 |
| N _{Ma} | 0.01 | 0.0 | 0.0 | 0.0 | 0 |
| W _{Ma} | 95.41 | 0.0 | 0.0 | 0.0 | 0 |
| R _{CIE} | 47.79 | 61.74 | 42.56 | 74.99 | 35 |
| J _{CIE} | 83.82 | 7.06 | 70.78 | 71.13 | 84 |
| G _{CIE} | 49.0 | -35.95 | 4.34 | 36.22 | 173 |
| B _{CIE} | 25.14 | -17.24 | -56.24 | 58.84 | 253 |

CIELAB-Helligkeit L^*

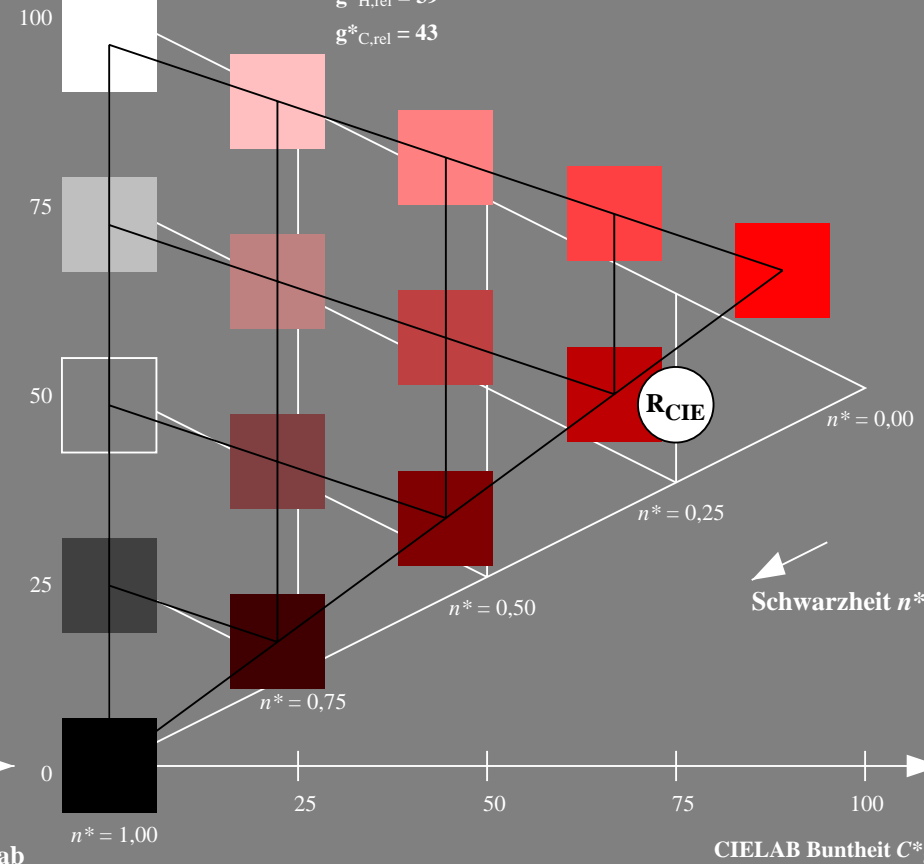
%Umfang

$u^*_{rel} = 141$

%Regularität

$g^*_{H,rel} = 39$

$g^*_{C,rel} = 43$



RG300-7, 5 stufige Reihen für konstanten CIELAB Buntton 34/360 = 0.095 (links)

5 stufige Reihen für konstanten CIELAB Buntton 35/360 = 0.096 (rechts)

BAM-Prüfvorlage RG30; Farbmetrik-Systeme ORS18 & ORS18input: olv* setrgbcolor

A: Koordinatensysteme; 5stufige Farbreihen für 10 Bunttöne output: Startup (S) data dependend

Eingabe: Farbmétrisches Offset-Reflektiv-System ORS18

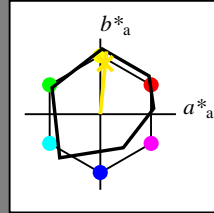
für Buntton $h^* = lab^*h = 84/360 = 0.235$

LAB*LCH, LAB*NCH

A: Buntton J

LCH*Ma: 89 83 84

olv*Ma: 1.0 0.91 0.0



ORS18; adaptierte CIELAB-Daten

| | $L^* = L^*_a$ | a^*_a | b^*_a | $C^*_{ab,a}$ | $h^*_{ab,a}$ |
|------------------|---------------|---------|---------|--------------|--------------|
| O _{Ma} | 47.94 | 64.42 | 50.58 | 81.9 | 38 |
| Y _{Ma} | 92.62 | 2.41 | 86.36 | 86.39 | 88 |
| L _{Ma} | 50.9 | -63.82 | 35.02 | 72.81 | 151 |
| C _{Ma} | 51.25 | -53.68 | -57.69 | 78.82 | 227 |
| V _{Ma} | 25.72 | 30.34 | -44.37 | 53.76 | 304 |
| M _{Ma} | 56.25 | 70.59 | 7.57 | 70.99 | 6 |
| N _{Ma} | 18.11 | 0.0 | 0.0 | 0.0 | 0 |
| W _{Ma} | 95.6 | 0.0 | 0.0 | 0.0 | 0 |
| R _{CIE} | 47.79 | 60.85 | 41.08 | 73.41 | 34 |
| J _{CIE} | 83.82 | 6.52 | 66.9 | 67.22 | 84 |
| G _{CIE} | 49.0 | -36.83 | 2.78 | 36.95 | 176 |
| B _{CIE} | 25.14 | -18.35 | -56.22 | 59.15 | 252 |

CIELAB-Helligkeit L^*

%Umfang

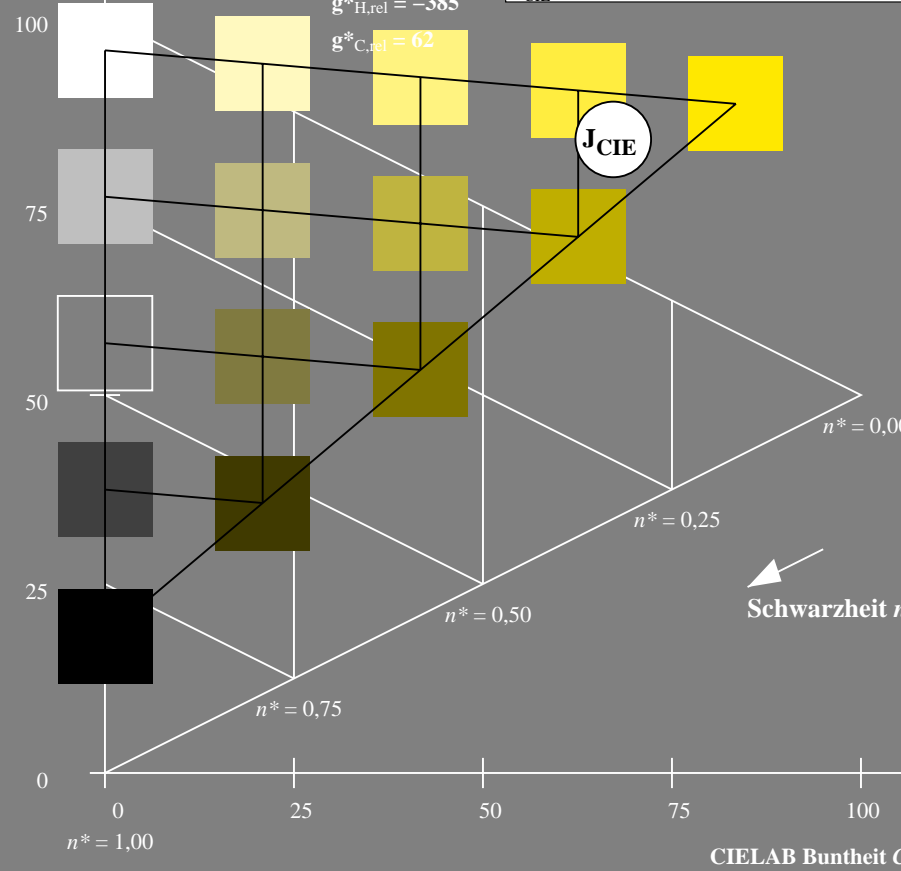
$u^*_{rel} = 96$

%Regularität

$g^*_{H,rel} = -385$

$g^*_{C,rel} = 62$

J_{CIE}



RG300-7, 5 stufige Reihen für konstanten CIELAB Bunnton 84/360 = 0.235 (links)

Ausgabe: Farbmétrisches Fernseh-Licht-System TLS00

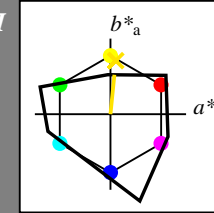
für Buntton $h^* = lab^*h = 84/360 = 0.234$

LAB*LCH, LAB*NCH

A: Buntton J

LCH*Ma: 91 52 84

olv*Ma: 1.0 0.89 0.0



TLS00; adaptierte CIELAB-Daten

| | $L^* = L^*_a$ | a^*_a | b^*_a | $C^*_{ab,a}$ | $h^*_{ab,a}$ |
|------------------|---------------|---------|---------|--------------|--------------|
| O _{Ma} | 65.56 | 73.34 | 51.39 | 89.55 | 35 |
| Y _{Ma} | 94.78 | -3.49 | 52.24 | 52.36 | 94 |
| L _{Ma} | 77.48 | -92.97 | 36.0 | 99.71 | 159 |
| C _{Ma} | 78.36 | -82.69 | -22.74 | 85.77 | 195 |
| V _{Ma} | 12.55 | 38.81 | -114.81 | 121.2 | 289 |
| M _{Ma} | 66.71 | 76.08 | -29.8 | 81.71 | 339 |
| N _{Ma} | 0.01 | 0.0 | 0.0 | 0.0 | 0 |
| W _{Ma} | 95.41 | 0.0 | 0.0 | 0.0 | 0 |
| R _{CIE} | 47.79 | 61.74 | 42.56 | 74.99 | 35 |
| J _{CIE} | 83.82 | 7.06 | 70.78 | 71.13 | 84 |
| G _{CIE} | 49.0 | -35.95 | 4.34 | 36.22 | 173 |
| B _{CIE} | 25.14 | -17.24 | -56.24 | 58.84 | 253 |

CIELAB-Helligkeit L^*

%Umfang

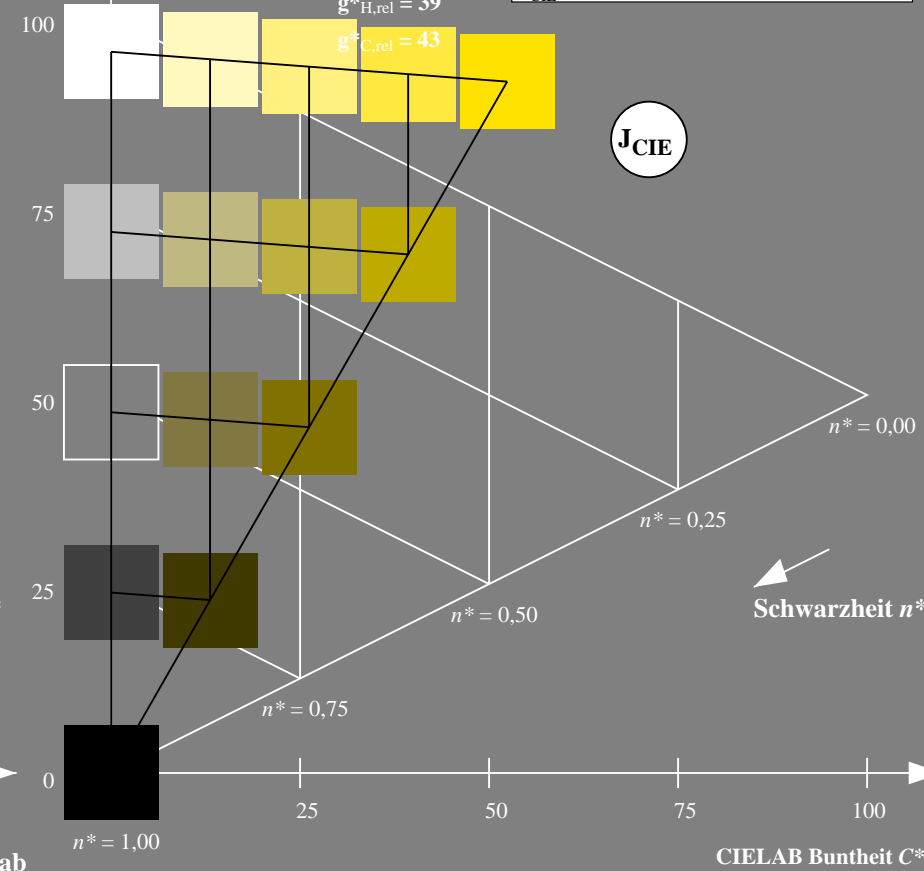
$u^*_{rel} = 141$

%Regularität

$g^*_{H,rel} = 39$

$g^*_{C,rel} = 43$

J_{CIE}



5 stufige Reihen für konstanten CIELAB Bunnton 84/360 = 0.234 (rechts)

Eingabe: Farbmétrisches Offset-Reflektiv-System ORS18

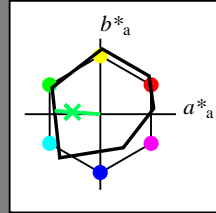
für Buntton $h^* = lab^*h = 176/360 = 0.488$

LAB*LCH, LAB*NCH

A: Buntton G

LCH*Ma: 51 61 176

olv*Ma: 0.0 1.0 0.33



ORS18; adaptierte CIELAB-Daten

| | $L^*=L^*_a$ | a^*_a | b^*_a | $C^*_{ab,a}$ | $h^*_{ab,a}$ |
|------------------|-------------|---------|---------|--------------|--------------|
| O _{Ma} | 47.94 | 64.42 | 50.58 | 81.9 | 38 |
| Y _{Ma} | 92.62 | 2.41 | 86.36 | 86.39 | 88 |
| L _{Ma} | 50.9 | -63.82 | 35.02 | 72.81 | 151 |
| C _{Ma} | 51.25 | -53.68 | -57.69 | 78.82 | 227 |
| V _{Ma} | 25.72 | 30.34 | -44.37 | 53.76 | 304 |
| M _{Ma} | 56.25 | 70.59 | 7.57 | 70.99 | 6 |
| N _{Ma} | 18.11 | 0.0 | 0.0 | 0.0 | 0 |
| W _{Ma} | 95.6 | 0.0 | 0.0 | 0.0 | 0 |
| R _{CIE} | 47.79 | 60.85 | 41.08 | 73.41 | 34 |
| J _{CIE} | 83.82 | 6.52 | 66.9 | 67.22 | 84 |
| G _{CIE} | 49.0 | -36.83 | 2.78 | 36.95 | 176 |
| B _{CIE} | 25.14 | -18.35 | -56.22 | 59.15 | 252 |

CIELAB-Helligkeit L^*

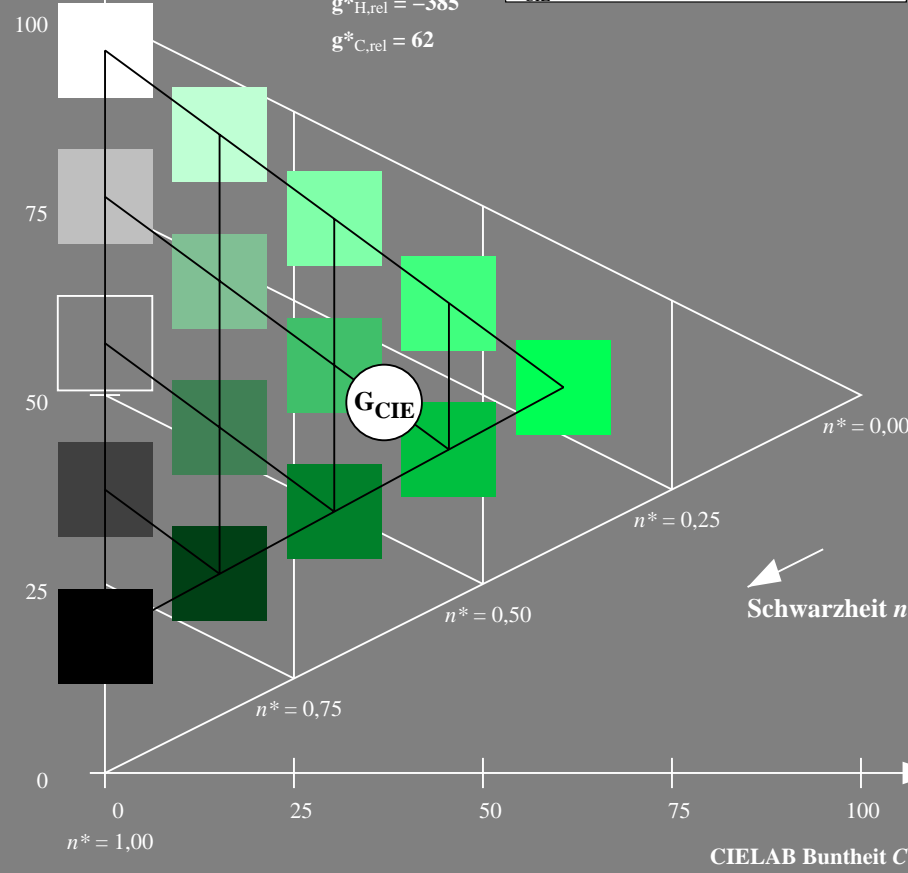
%Umfang

$u^*_{rel} = 96$

%Regularität

$g^*_{H,rel} = -385$

$g^*_{C,rel} = 62$



RG300-7, 5 stufige Reihen für konstanten CIELAB Buntton 176/360 = 0.488 (links)

Ausgabe: Farbmétrisches Fernseh-Licht-System TLS00

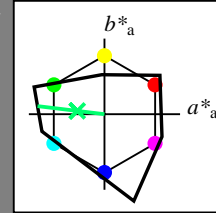
für Buntton $h^* = lab^*h = 173/360 = 0.481$

LAB*LCH, LAB*NCH

A: Buntton G

LCH*Ma: 78 89 173

olv*Ma: 0.0 1.0 0.43



TLS00; adaptierte CIELAB-Daten

| | $L^*=L^*_a$ | a^*_a | b^*_a | $C^*_{ab,a}$ | $h^*_{ab,a}$ |
|------------------|-------------|---------|---------|--------------|--------------|
| O _{Ma} | 65.56 | 73.34 | 51.39 | 89.55 | 35 |
| Y _{Ma} | 94.78 | -3.49 | 52.24 | 52.36 | 94 |
| L _{Ma} | 77.48 | -92.97 | 36.0 | 99.71 | 159 |
| C _{Ma} | 78.36 | -82.69 | -22.74 | 85.77 | 195 |
| V _{Ma} | 12.55 | 38.81 | -114.81 | 121.2 | 289 |
| M _{Ma} | 66.71 | 76.08 | -29.8 | 81.71 | 339 |
| N _{Ma} | 0.01 | 0.0 | 0.0 | 0.0 | 0 |
| W _{Ma} | 95.41 | 0.0 | 0.0 | 0.0 | 0 |
| R _{CIE} | 47.79 | 61.74 | 42.56 | 74.99 | 35 |
| J _{CIE} | 83.82 | 7.06 | 70.78 | 71.13 | 84 |
| G _{CIE} | 49.0 | -35.95 | 4.34 | 36.22 | 173 |
| B _{CIE} | 25.14 | -17.24 | -56.24 | 58.84 | 253 |

CIELAB-Helligkeit L^*

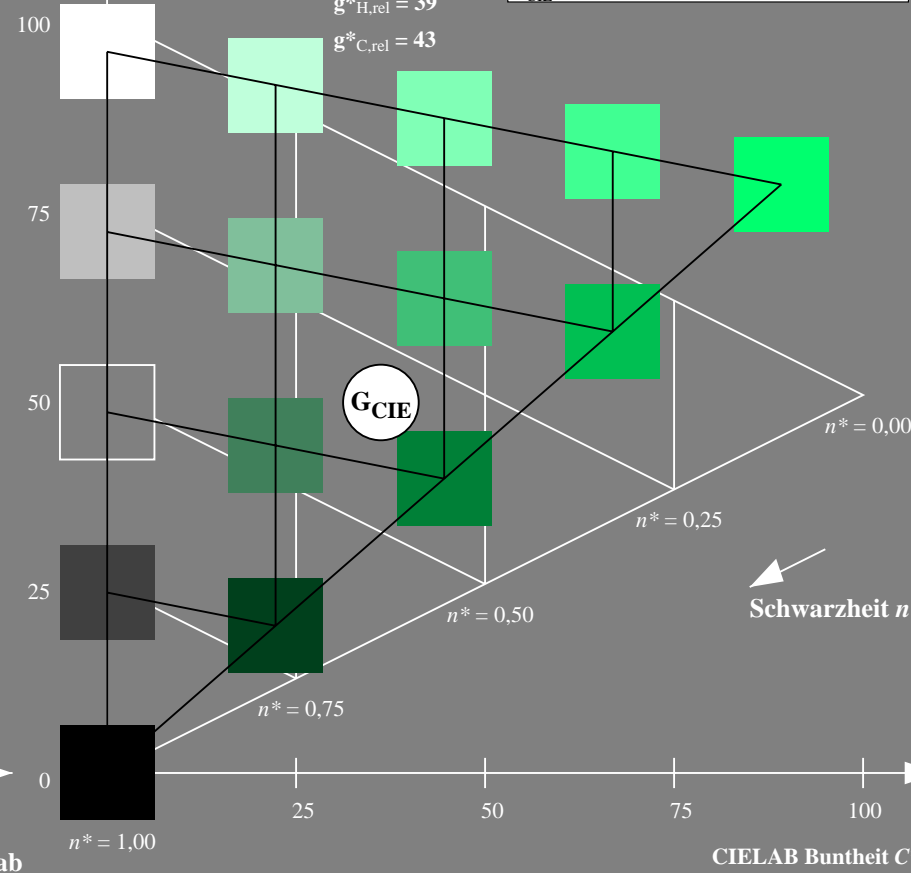
%Umfang

$u^*_{rel} = 141$

%Regularität

$g^*_{H,rel} = 39$

$g^*_{C,rel} = 43$



5 stufige Reihen für konstanten CIELAB Buntton 173/360 = 0.481 (rechts)

BAM-Prüfvorlage RG30; Farbmétrik-Systeme ORS18 & ORS18input: olv* setrgbcolor

A: Koordinatensysteme; 5stufige Farbreihen für 10 Bunttöne output: Startup (S) data dependend

Eingabe: Farbmétrisches Offset-Reflektiv-System ORS18

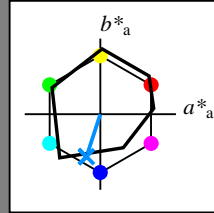
für Buntton $h^* = lab^*h = 252/360 = 0.7$

LAB*LCH, LAB*NCH

A: Buntton B

LCH*Ma: 40 55 252

olv*Ma: 0.0 0.56 1.0



ORS18; adaptierte CIELAB-Daten

| | $L^* = L^*_a$ | a^*_a | b^*_a | $C^*_{ab,a}$ | $h^*_{ab,a}$ |
|------------------|---------------|---------|---------|--------------|--------------|
| O _{Ma} | 47.94 | 64.42 | 50.58 | 81.9 | 38 |
| Y _{Ma} | 92.62 | 2.41 | 86.36 | 86.39 | 88 |
| L _{Ma} | 50.9 | -63.82 | 35.02 | 72.81 | 151 |
| C _{Ma} | 51.25 | -53.68 | -57.69 | 78.82 | 227 |
| V _{Ma} | 25.72 | 30.34 | -44.37 | 53.76 | 304 |
| M _{Ma} | 56.25 | 70.59 | 7.57 | 70.99 | 6 |
| N _{Ma} | 18.11 | 0.0 | 0.0 | 0.0 | 0 |
| W _{Ma} | 95.6 | 0.0 | 0.0 | 0.0 | 0 |
| R _{CIE} | 47.79 | 60.85 | 41.08 | 73.41 | 34 |
| J _{CIE} | 83.82 | 6.52 | 66.9 | 67.22 | 84 |
| G _{CIE} | 49.0 | -36.83 | 2.78 | 36.95 | 176 |
| B _{CIE} | 25.14 | -18.35 | -56.22 | 59.15 | 252 |

CIELAB-Helligkeit L^*

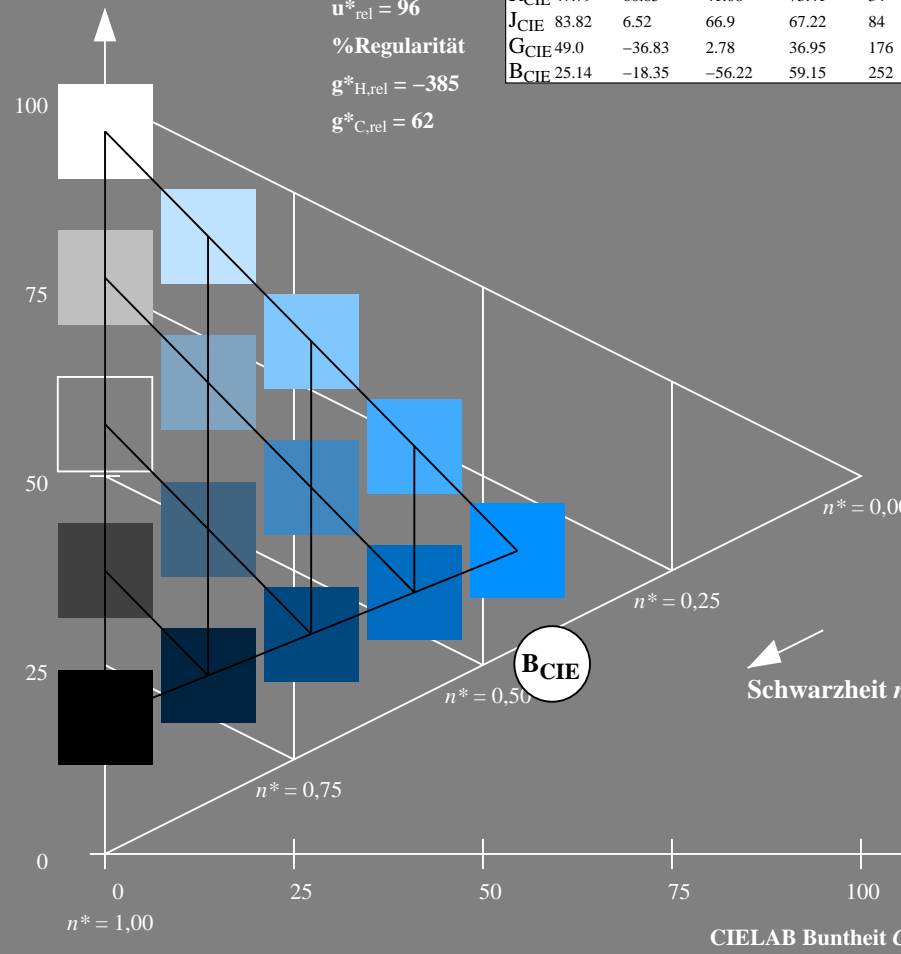
%Umfang

$u^*_{rel} = 96$

%Regularität

$g^*_{H,rel} = -385$

$g^*_{C,rel} = 62$



RG300-7, 5 stufige Reihen für konstanten CIELAB Buntton 252/360 = 0.7 (links)

Ausgabe: Farbmétrisches Fernseh-Licht-System TLS00

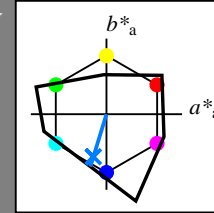
für Buntton $h^* = lab^*h = 253/360 = 0.703$

LAB*LCH, LAB*NCH

A: Buntton B

LCH*Ma: 45 72 253

olv*Ma: 0.0 0.49 1.0



TLS00; adaptierte CIELAB-Daten

| | $L^* = L^*_a$ | a^*_a | b^*_a | $C^*_{ab,a}$ | $h^*_{ab,a}$ |
|------------------|---------------|---------|---------|--------------|--------------|
| O _{Ma} | 65.56 | 73.34 | 51.39 | 89.55 | 35 |
| Y _{Ma} | 94.78 | -3.49 | 52.24 | 52.36 | 94 |
| L _{Ma} | 77.48 | -92.97 | 36.0 | 99.71 | 159 |
| C _{Ma} | 78.36 | -82.69 | -22.74 | 85.77 | 195 |
| V _{Ma} | 12.55 | 38.81 | -114.81 | 121.2 | 289 |
| M _{Ma} | 66.71 | 76.08 | -29.8 | 81.71 | 339 |
| N _{Ma} | 0.01 | 0.0 | 0.0 | 0.0 | 0 |
| W _{Ma} | 95.41 | 0.0 | 0.0 | 0.0 | 0 |
| R _{CIE} | 47.79 | 61.74 | 42.56 | 74.99 | 35 |
| J _{CIE} | 83.82 | 7.06 | 70.78 | 71.13 | 84 |
| G _{CIE} | 49.0 | -35.95 | 4.34 | 36.22 | 173 |
| B _{CIE} | 25.14 | -17.24 | -56.24 | 58.84 | 253 |

CIELAB-Helligkeit L^*

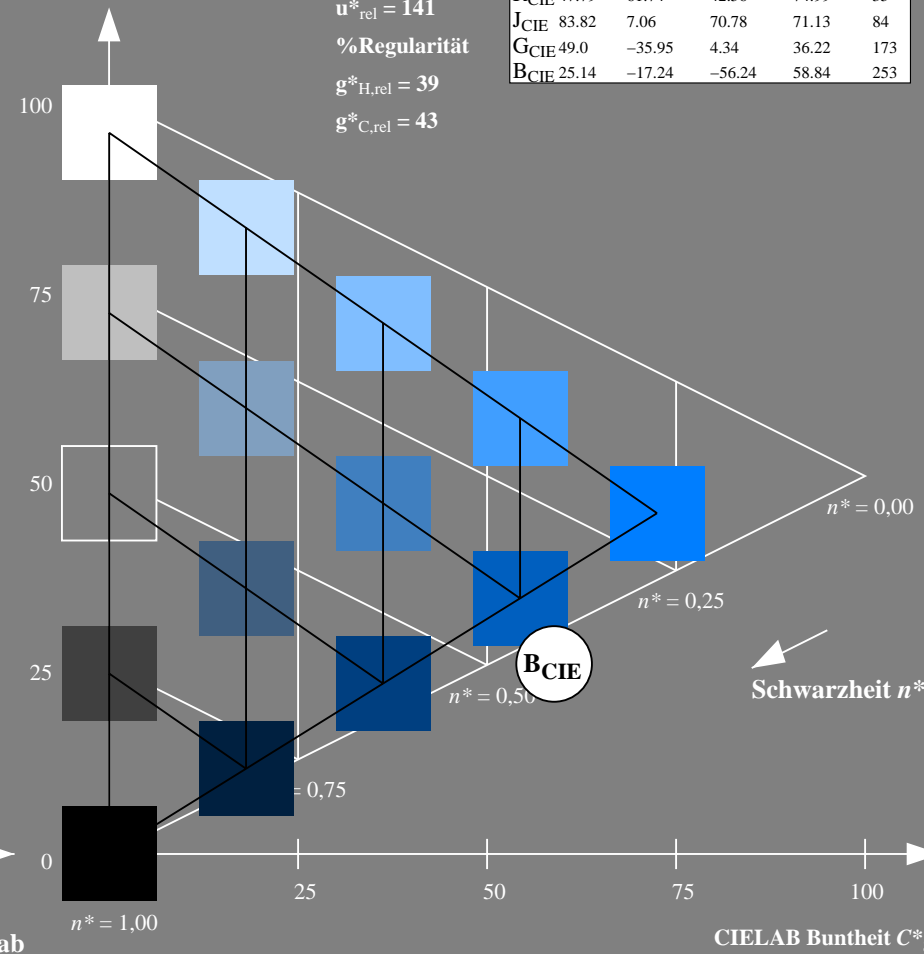
%Umfang

$u^*_{rel} = 141$

%Regularität

$g^*_{H,rel} = 39$

$g^*_{C,rel} = 43$



5 stufige Reihen für konstanten CIELAB Buntton 253/360 = 0.703 (rechts)

BAM-Prüfvorlage RG30; Farbmétrik-Systeme ORS18 & ORS18input: olv* setrgbcolor

A: Koordinatensysteme; 5stufige Farbreihen für 10 Bunttöne output: Startup (S) data dependend

Siehe ähnliche Dateien: <http://www.ps.bam.de/RG30/>
Technische Information: <http://www.ps.bam.de> Version 2.1, io=1,1?

BAM-Registrierung: 20060101-RG30/10Q/Q30G09SP.PS/.PDF BAM-Material: Code=rh4ta
Anwendung für Beurteilung und Messung von Drucker- oder Monitorssystemen
/RG30/ Form: 10/10Serie: 1/1, Seite: 10
Satz: hng 10